# 面向认知无线电应用的四端口 UWB-NB 天线设计

任林源 <sup>1</sup> REN Linyuan

## 摘 要

文章设计了一款面向认知无线电(cognitive radio, CR)系统的四端口 UWB-NB 天线, 旨在通过动态频 谱感知与多频段通信协同提升频谱资源利用率。该天线集成于  $51 \text{ mm} \times 51 \text{ mm} \times 1 \text{ mm}$  的 FR-4 介质基板上(介电常数 4.4, 损耗角正切 0.019),由 1 个超宽带 (ultra-wide band, UWB) 感知天线与 3 个窄带 (narrow band, NB) 通信天线构成。其中,UWB 天线完整覆盖美国联邦通信委员会(FCC)定义的  $3.1\sim10.6$  GHz 标准频段; 3 个 NB 天线通过协同频段规划,分别覆盖低频( $2.73\sim6.15$  GHz)、中频( $4.9\sim8.35$  GHz)及高频( $7.5\sim10.8$  GHz),实现了对 UWB 频谱的 100% 无缝覆盖。为突破多天线集成中的耦合瓶颈,创新性采用准自互补结构(quasi-self-complementary, QSC),在不依赖额外去耦措施的情况下,全频段内端口隔离度优于 15 dB。

关键词

认知无线电; 窄带天线; 超宽带; 准自互补天线; 隔离度

doi: 10.3969/j.issn.1672-9528.2025.03.019

## 0 引言

认知无线电(cognitive radio, CR)技术由约瑟夫·米托拉(Joseph Mitola)于 1999 年提出,是提升频谱资源利用率的关键技术之一<sup>[1]</sup>。其核心在于 CR 系统能够动态感知频谱使用状况,在不干扰授权用户的前提下,智能利用空闲频谱进行通信,从而实现频谱资源的高效利用<sup>[2]</sup>。在 CR 系统中,天线作为信号收发的核心组件,需同时支持频谱感知和通信功能,因此通常需配备感知天线和通信天线<sup>[3]</sup>。

近年来,面向认知无线电应用的双端口UWB-NB天线设计较为普遍,其中UWB天线用于频谱感知,NB天线用于通信。然而,由于NB天线的带宽限制,单个NB天线难以完全覆盖UWB频段。为此,文献[4-5]提出了将多个NB天线与UWB天线集成的解决方案。例如,文献[5]在30mm×30mm×1.6mm的FR-4介质基板上集成了1个UWB天线和2个NB天线,通过2个NB天线的协同工作覆盖了UWB频段的22.4%。

然而,在有限空间内集成 UWB 天线与多个 NB 天线 面临显著的技术挑战,主要源于天线间耦合效应导致的性 能下降 <sup>[6]</sup>。为减少天线间的耦合,改善天线间的隔离度。 天线设计者们提出了诸多解耦方法如:缺陷地结构 <sup>[7]</sup>、添 加寄生枝节 <sup>[8]</sup>、引入中和线 <sup>[9]</sup>、使用准自互补结构 <sup>[10]</sup>等。 例如文献 [7] 在接地板上蚀刻栅栏型解耦结构,延长了电

1. 武汉轻工大学电气与电子工程学院 湖北武汉 430023

流耦合路径,使隔离度提升至 25 dB; 文献 [10] 中由 4 个正交排列的准自互补(quasi-self-complementary, QSC)辐射单元组成的 UWB MIMO 天线,天线单元之间无需额外的去耦结构即可实现在工作频带内优于 20 dB 的高隔离度。

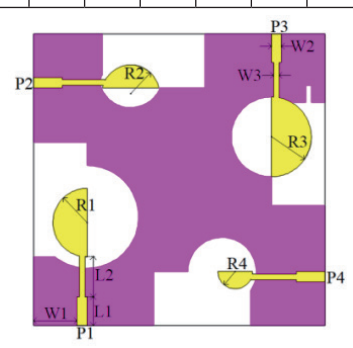
本文设计了一款面向 CR 应用的四端口 UWB-NB 天线。 该天线集成于 51 mm×51 mm×1 mm 的 FR-4 介质基板上,由 1 个 UWB 感知天线和 3 个 NB 通信天线组成。其中,3 个 NB 天线的工作频段分别为低频(2.73~6.15 GHz)、中频(4.9~8.35 GHz)和高频(7.5~10.8 GHz),实现了对 UWB 频段的 100% 全覆盖。为优化天线性能,采用准自互补结构(QSC),无须额外去耦措施即可在工作频段内实现优于15 dB 的隔离度。

### 1 四端口 UWB 和 NB 天线设计

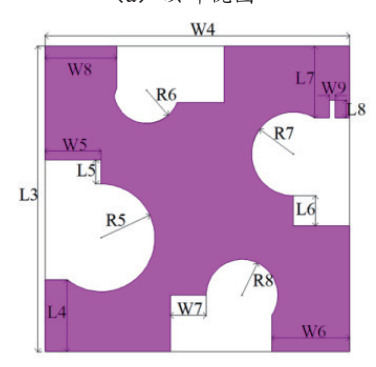
四端口 UWB-NB 天线打印在尺寸为 51 mm×51 mm×1 mm 的 FR-4 基板上。该基板的介电常数为 4.4,损耗角正切为 0.019。四端口天线以 4 元 UWB MIMO<sup>[11]</sup> 天线为参考,保留 1 个 UWB 天线为感知天线,将其余 3 个 UWB 天线改进为 NB 通信天线。利用 CST 2019 仿真软件对该天线进行设计和改进。最终所得天线尺寸参数由表 1 所示,模型图如图 1 所示。对图 1 中位于 P1、P2、P3、P4 端口的天线分别命名为 Ant(P1)、Ant(P2)、Ant(P3)和 Ant(P4)。

表 1 天线结构各参数

Parameters	L1	L2	L3	L4	L5	L6	L7	L8	W1
Value /mm	5	7	51	12	4	5	12	3	7.6
Parameters	W2	W3	W4	W5	W6	W7	W8	W9	R1
Value /mm	1.8	1	51	9.4	13	6	12	1	6
Parameters	R2	R3	R4	R5	R6	R7	R8		
Value /mm	5	7	3	9	5.5	7	6		



(a) 顶部视图



(b) 底部视图

图 1 集成四端口 UWB-NB 天线的几何结构 (所有尺寸均以 mm 为单位)

由图 1 所示,四端口天线中的 4 个天线单元结构皆是准 自互补天线,由于互补结构的辐射特性[12],仅须合理摆放 各单元天线位置即可实现天线间的高隔离度,从图1可见, 该天线通过将各天线单元正交摆放以实现各单元天线间的高 隔离度。结果由 CST 2019 仿真所得图 2 中的 S 参数: S12、 S13、S14、S23、S24 和 S34 所示, 各天线单元间的隔离度 皆在 15 dB 以上。

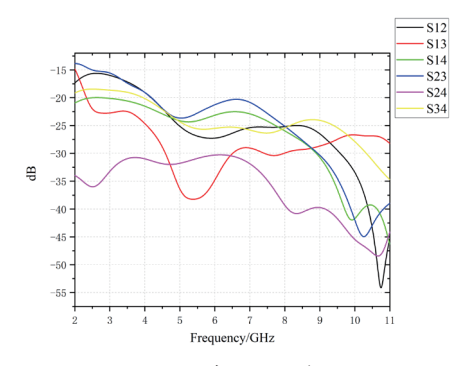


图 2 天线单元间 S 参数

## 1.1 UWB 感知天线设计

位于 P1 端口的 UWB 天线为准自互补天线,由一个半圆 的天线贴片和一个互补的切割平面构成。该 UWB 天线的半 圆天线贴片(R1)的半径为6mm,互补切割平面半圆(R5) 的半径为9 mm,如图 3 所示。仿真所得参数 S11 覆盖了频 谱 3.0~11.0 GHz, 其中包括联邦通信委员会批准的完整免许 可频谱 3.1~10.6 GHz,如图 4 所示。UWB 天线在不同频率 下的峰值增益由图5可见。

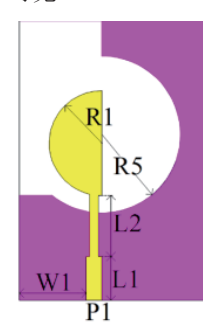


图 3 UWB 天线

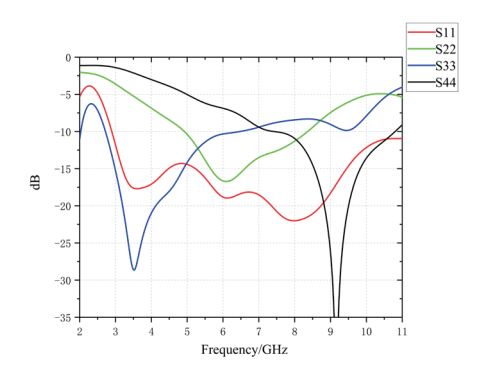


图 4 各天线的 S 参数

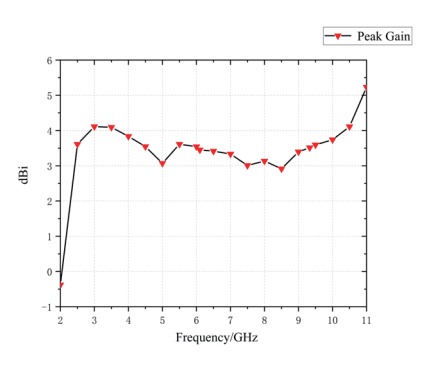


图 5 UWB 天线增益

## 1.2 NB 通信天线设计

由图 1 所见,位于 P2 的 NB 天线 Ant (P2)的天线贴片 是半径为 5 mm 的半圆天线贴片 (R2) 裁剪 1 mm 的外圈圆 弧,互补切割平面是半径为 5.5 mm 的半圆(R6) 裁剪 2 mm 的外圈圆弧。由 CST 2019 仿真所得 Ant (P2) 的工作频段覆 盖了 UWB 频段的中频 4.9~8.35 GHz, 谐振频率为 6.1 GHz, 由图4所示。

Ant (P3) 的单极子贴片天线半圆(R3) 半径为7mm, 互补切割半圆半径(R7) 也为7mm, 结构由图1可见。值得注意的是, Ant (P3) 的互补切割平面切割了一块长3mm、宽1mm、厚0.035mm的铜片,切割位置由图1(b)的底部视图可见。切割原因由天线仿真参数图6所示,未切割前,该天线覆盖了UWB中的低频3.1~5.9 GHz和高频9.5~11 GHz。而切割后的Ant (P3) 工作频段仅为UWB天线中的低频2.73~6.15 GHz,谐振频率为3.5 GHz,如图4所示。

位于 P4 端口的 NB 天线 Ant(P4) 结构如下: 单极子天线贴片半圆(R4)的半径为 3 mm, 互补切割平面的背板圆(R8)的半径大小为 6 mm, 由图 1 可见。由 CST 2019 仿真所得 Ant (P4)的工作频段覆盖了 UWB 频段中的高频7.5~10.8 GHz, 谐振频率为 9.2 GHz, 由图 4 可见。

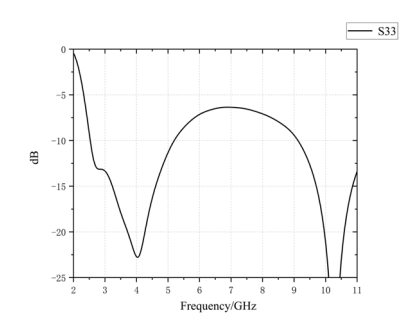
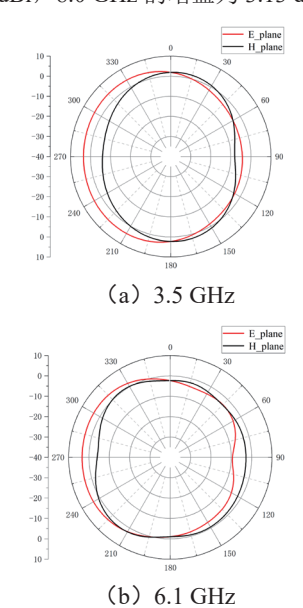


图 6 切割铜片前天线 Ant (P3) S 参数

## 2 结果分析

观察各天线的二维辐射方向图后,发现所设计的 UWB 和 NB 天线皆为准全向天线。UWB 天线在谐振频率的二维辐射方向图如图 7 所示,在 3.5 GHz、6.1 GHz 和 8.0 GHz 的 XOZ (E 面)和 YOZ (H 面)的辐射方向图均具有准全向辐射特性。UWB 天线在 3.5 GHz 的增益为 4.09 dBi,6.1 GHz 的增益为 3.45 dBi,8.0 GHz 的增益为 3.13 dBi。



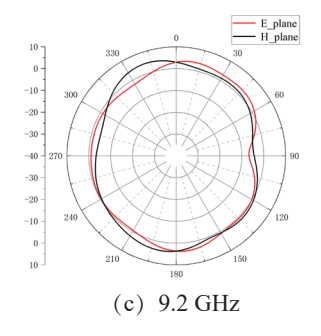
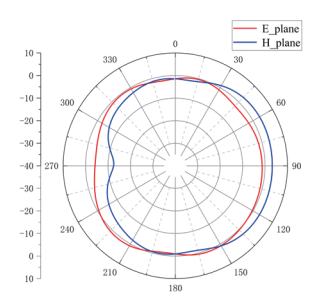
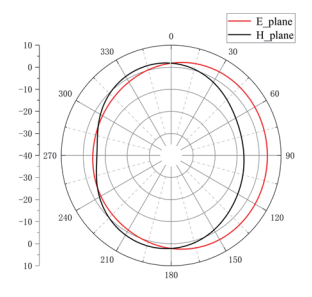


图 7 UWB 天线的二维辐射模式

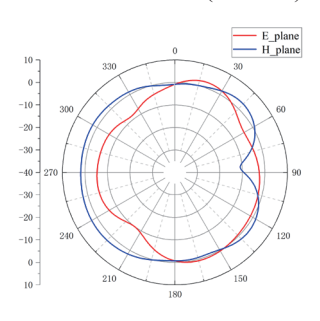
NB 天线的二维辐射方向图也和 UWB 天线类似,具有准全向辐射特性,仿真所得二维辐射方向图如图 8 所示,展示了 (a) Ant (P2) 位于 6.1 GHz、(b) Ant (P3) 位于 3.5 GHz 和 (c) Ant (P4) 位于 9.2 GHz 的二维辐射方向图。Ant (P2) 在谐振频率 6.1 GHz 的增益为 4.1 dBi,Ant (P3) 在谐振频率 3.5 GHz 的增益为 3.9 dBi;Ant (P4) 在谐振频率 9.2 GHz 的增益为 3.5 dBi。



(a) Ant (P2) (6.1 GHz)



(b) Ant (P3) (3.5 GHz)



(c) Ant (P4) (9.2 GHz)

图 8 NB 天线的二维辐射模式

为展示本成果的先进性,与已发表的类似成果进行了 对比,如表 2 所示,本文所设计天线较为紧凑,四端口天线 的尺寸为 51 mm×51 mm; 感知天线和通信天线的工作频段 100%覆盖了 UWB 天线频段。

表 2 与已发表的类似成果对比

参考文献	天线尺寸 /(mm×mm)	端口数	感知天线 频段/GHz	通信天线 频段/GHz	频段覆 盖率 /%
[5]	30×30	3	3.1~ 10.6	6.36~6.63 8.78~9.23 7.33~7.70 9.23~9.82	22.4
[13]	47×47	2	3.0~11	5.15~5.35	2.67
[14]	60×120	4	0.75~7.65	1.77~2.51	10
[15]	19×17.5	1	3.82~12	3.05~4.16 6.23~7.20 3.02~4.40	31.3
本文设计天线	51×51	4	2.9~10.8	4.90~8.35 2.73~6.15 7.50~10.8	100

### 3 结论

本文设计的新型四端口UWB-NB天线满足CR应用所需, 拥有可用于感知的 UWB 天线和 3 个通信的 NB 天线, 感知 天线和通信天线的工作频段 100% 覆盖了 UWB 天线频段, 可以作为CR环境中频谱感知和通信的良好模块。在结构方 面,为保证各天线单元间的高隔离度,各天线单元使用准自 互补结构, 无需其他去耦结构即可实现各天线单元在工作频 段内优于 15 dB 的隔离度。

### 参考文献:

- [1] 曹华孝,鲜永菊,徐昌彪.认知无线电技术的国内外发展 与研究现状 [J]. 数字通信,2009,36(2):51-57.
- [2] 陈兵, 胡峰, 朱琨. 认知无线电研究进展 [J]. 数据采集与处 理,2016,31(3):440-451.
- [3] PARIDA R K, ALMAWGANI A H M, MUDULI A, et al. A compact isolated CR antenna system for application in C-band[J].International journal of antennas and propagation, 2024: 13.
- [4] PAHADSINGH S, SAHU S. Planar UWB integrated with multi narrowband cylindrical dielectric resonator antenna for cognitive radio application[J].AEU-international journal of electronics and communications, 2017, 74: 150-157.
- [5] KUMAR N A, GANDHI A S. A compact novel three-port integrated wide and narrow band antennas system for cognitive radio applications[J]. International journal of antennas and propagation, 2016(1): 2829357.
- [6] NELLA A, GANDHI A S. A five-port integrated UWB and

- narrowband antennas system design for CR applications[J]. IEEE transactions on antennas and propagation, 2018, 66(4): 1669-1676.
- [7] WANG L L, DD Z H, YANG H L, et al. Compact UWB MIMO antenna with high isolation using fence-type decoupling structure[J].IEEE antennas and wireless propagation letters, 2019, 18(8): 1641-1645.
- [8] IOBAL A, SARAEREH O A, AHMAD A W, et al. Mutual coupling reduction using f-shaped stubs in UWB-MIMO antenna[J]. IEEE access, 2017, 6: 2755-2759.
- [9] ZHANG S, PEDERSEN G F. Mutual coupling reduction for UWB MIMO antennas with a wideband neutralization line[J]. IEEE antennas and wireless propagation letters, 2015, 15: 166-169.
- [10] ZHU J F, LI S F, FENG B T, et al. Compact dual-polarized UWB quasi-self-complementary MIMO/diversity antenna with band-rejection capability[J].IEEE antennas and wireless propagation letters, 2015, 15: 905-908.
- [11] LIU X L, WANG Z D, YIN Y Z, et al. A compact ultrawideband MIMO antenna using QSCA for high isolation[J]. IEEE antennas and wireless propagation letters, 2014, 13: 1497-1500.
- [12] 苏晋荣,李艳玲.利用科赫分形解耦的四端口紧凑型 QSC UWB MIMO 天线 [J]. 测试技术学报, 2023, 37(2): 170-177.
- [13] EBRAHIMI E, HALL P S. A dual port wide-narrowband antenna for cognitive radio[C]//2009 3rd European Conference on Antennas and Propagation. Piscataway: IEEE, 2009: 809-812.
- [14] THUMMALURU S R, AMEEN M, CHAUDHARY R K. Four-port MIMO cognitive radio system for midband 5G applications[J].IEEE transactions on antennas and propagation, 2019, 67(8): 5634-5645.
- [15] LI L, JI H Y, NAN J C, et al. Broad-and narrow-band frequency reconfigurable antenna for cognitive radio application[C]//2022 IEEE 5th International Conference on Electronic Information and Communication Technology (ICEICT). Piscataway: IEEE, 2022: 250-252.

## 【作者简介】

任林源(2000-),男,重庆开州人,硕士研究生,研 究方向: 天线设计。

(收稿日期: 2025-02-10)